

中國科学院
水利部 水利科学研究院

研究報告

1

圓頂壩自由溢流水力特性中的曲率影響
高壓閘門的水力特性

水利出版社

1958年1月

目 錄

水工 1 圓頂壩自由溢流水力特性中的曲率影响

提 要	1
一、引 言	1
二、測線上能量的分布	2
三、二元水流凸曲率影响的基本公式	3
四、圓頂壩自由溢流的水力特性	5
五、圓頂壩模型試驗成果	8
六、实用溢流壩模型試驗驗証資料	17
七、結 語	22
參考文獻	23

水工 2 高壓閘門的水力特性

提 要	25
一、概 述	25
二、水力特性的指标	27
三、試驗研究的方法	33
四、几种常用高壓閘門的水力特性	39
五、結 語	62
參考文獻	64

圓頂壩自由溢流水力特性中的曲率影響

(水工 1)

陳椿庭

提要

本文根據勞弗爾 (H. Lauffer) 氏在兩項假定 (● 垂直測線上各點所含能量為常數，● 流線呈同心圓弧) 下所導得的基本公式，作了詳細的補充引伸，得出圓頂壩自由溢流時各項水力特性中的曲率影響計算公式。作者曾進行了大、中、小三個圓頂壩模型的試驗共 118 組，試驗成果基本上和導得的計算公式相合致。文中並根據試驗資料制定了一些經驗公式，應用時可更簡便。此外，也曾搜集了 16 個實用溢流壩包括 27 種斷面曲線形式的流量系數模型試驗資料，來驗証流量系數所受的曲率影響，基本上也相符合。

一、引言

通過水工建築物的二元明渠水流，有時由於底部有豎曲率或水面有跌落壅高等情形，而致流線帶有顯著的曲率，在水力計算中必須考慮由流線曲率所引起的影响。例如：溢流壩自由溢流時，流線帶有凸曲率，壩峯水深即不同于按平行流動所算得的臨界水深，彭胄 (Bundschu) 氏流量系數可大于 1，且流量系數常隨上游水頭而增大；寬頂壩尾端的水深也因流線有凸曲率而較平行流的臨界水深為小；臨界水深量水儀也因流線帶有曲率而發生困難。流線曲率所引起的影响，可認為首先反映在使水深方向的水壓力分布，不復遵守靜水壓力分布規律；因而在流速分布、流量、臨界水深、邊界壓力分布等方面，都引起了一系列的影響。流線的曲率影響問題是廣泛存在的，有時可很嚴重，例如局部流線的曲率過甚時，可產生嚴重的負壓，甚至產生氣穴現象和空蝕作用。為了探明通過溢流壩等水工建築物的水流運動規律，必須對流線的曲率影響問題進行研究。

對於二元明渠水流的豎曲率影響問題，已有不少學者做過研究，其中勞弗爾 (Harald Lauffer) 和蒲斯 (Paul Boss) 二氏的工作，奠定了基礎。作者根據勞弗爾氏所作的兩項假定，對同心圓流線的曲率影響計算公式，作了詳細的補充推引，並在玻璃水槽內進行了大、中、小三個圓頂壩模型的一系列試驗，並搜集了 16 個實用溢流

壩（包括27种断面曲綫形式）的流量系数模型試驗資料，基本上驗証了推引所得的計算公式。文中并根据試驗成果求得一些經驗公式，也可供参考应用。

本文首先說明垂直測線上能量的各个組成部分和分布情形，并用簡單明了的曲綫圖來加以表示。其次根据劳弗尔氏在兩項假定下推引所得二元明渠水流的豎曲率影响基本公式，進而詳細地推引了圓頂壩自由溢流时各項水力特性中曲率影响的計算公式。又次介紹了三个圓頂壩模型試驗所獲得的主要成果，与推引所得的各項計算公式進行核驗比較。最后搜集了3个实用溢流壩在不同上游水位下的流量系数模型試驗資料，以及13个实用溢流壩（包括24种断面曲綫形式）在設計水头下的流量系数模型試驗資料，与本文的流量系数理論計算公式及實驗公式進行驗証比較。

文中所用的符号在第一次出現時加以說明。圓頂壩試驗系在美國密尼苏达大学聖安东尼瀑布（St. Anthony Falls）水工試驗室內進行，試驗中用的是英制單位。实用溢流壩的流量系数模型試驗資料，兩個是在南京水利實驗處進行的，其余都是美國墨务局的資料，后者也是英制單位。本文的成果分析全都是無尺度的算式和曲綫，应用时不須換算單位。本稿承北京水利科学研究院黃文熙副院長核閱，謹此志感。

二、測線上能量的分布

对于恆定不变的二元明渠水流，根据位能理論，垂直于流綫的豎測線上的各点，都含有相等的能量。一般單位重水体所含的能量，常用水柱高度來代表。为了对測線上能量的分布取得明哲的認識，可將总能 H 先划分为靜能 H_s 和流速水头 h ，再將靜能 H_s 划分为位能 z 和压能 p/γ （其間 γ 是水的比重），沿測線繪成能量分布圖。如第1圖（a），渠底縱向傾斜角为 φ ，水流流綫都是平行于渠底的直綫，沿鉛垂綫方向水深为 t ，沿垂直于流綫方向的水深为 d ，以通过圖中 A 点的縱坐标代表变动的水深 y ，横坐标代表各种能量的組成部分，如位能 z 、压能 p/γ 、靜能 H_s 、流速水头或动能 h 、总能 H 等，在圖中可作得“ z 線”、“ H_s 線”和“ H 線”， H_s 線和 z 線的橫坐标距差代表压能 p/γ ， H 線和 H_s 線的橫坐标距差代表流速水头 h 。在上述的条件下， H_s 線和 H 線是兩条垂直豎綫。代表离渠底为 y 处的一般情形，可寫成下式：

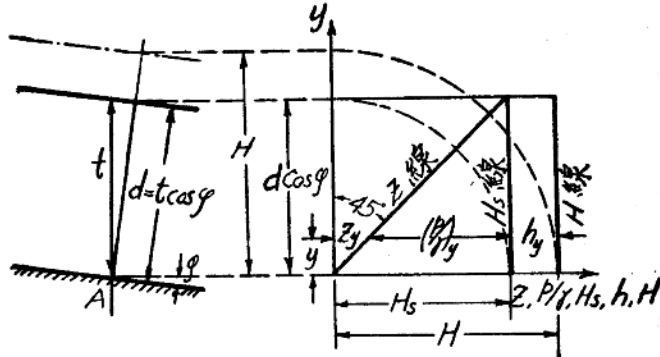
位能	$z_y = y \cos \varphi$	(1)
压能	$(p/\gamma)_y = (d - y) \cos \varphi$	
靜能	$H_{s_y} = (z + p/\gamma)_y = d \cos \varphi = \text{常数} = H_s$	
动能	$h_y = \frac{v_y^2}{2g} = H - H_s = \text{常数} = \frac{q^2}{2gd^2}$	
总能	$H_y = \text{常数} = H = H_s + h$	

式中 q 是已知的單位寬度流量。以上代表流綫不帶曲率的平行水流的能量分布情况。

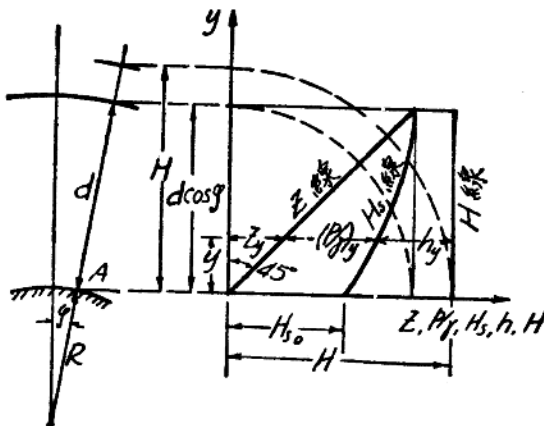
第1圖（b）为水流流綫具有凸曲率时的能量分布圖。圖中位能 z 線代表几何关系，仍是和縱坐标成 45° 夾角的直綫，当位流理論假定仍可適用时，总能 H 線仍是垂直豎綫，代表 $H = \text{常数}$ ，但由于凸曲率的影响，压能 $(p/\gamma)_y < (d - y) \cos \varphi$ ，因而

圖中靜能 H_s 繼成曲線，動能或流速水頭 h_y 也隨之不等於常數。壓能 $(p/\gamma)_y = (d-y) \cos \varphi$ 可認為流線帶有彎曲率後的基本反映，其餘流速、流量等也均和平行水流發生相應的差異。

以上(1)式和第1圖(a)、(b)，都可以很簡易的改變成為無尺度比值的形式。



第1圖(a)



第1圖(b)

三、二元水流凸曲率影响的基本公式

二元水流流線帶有彎曲率後，測線上的水壓力分布由靜水壓力分布的直線改為曲線，此項基本影響求得後，可進而求得在流速、流量等水力特性方面所產生的曲率影響。勞弗爾氏基於兩項假定：(1) 垂直測線上各點所含的能量均相等，(2) 流線均系同心圓弧，推演得曲線水流在垂直測線上的壓力分布公式如下。

如第2圖，距渠底以上 y 处 A 点單元立方體 $dx \cdot dy \cdot 1$ 上的作用力有如下 4 項：

(1) 重力 $\gamma dx \cdot dy$ ，(2) 离心力 $\frac{\gamma}{g} \cdot \frac{v_y^2}{r} dx \cdot dy$ ，(3) 下方的压力 $p_y dx$ ，(4) 上方的压力 $(p_y + \frac{\partial p_y}{\partial y} dy) dx$ 。沿測線方向寫出力的平衡方程式如下：

$$\gamma dx dy \cos \varphi - p_y dx + (p_y + \frac{\partial p_y}{\partial y} dy) dx - \frac{\gamma v_y^2}{rg} dx dy = 0 \quad (2)$$

式中 r (或 r_y) 是该点的流线曲率半径, φ 是该测线和铅垂线的夹角。上式可简化为:

$$\frac{\partial(p_y/\gamma)}{\partial y} = \frac{v_y^2}{rg} - \cos \varphi \quad (3)$$

(3) 式是曲线水流垂直测线上压力分布的一般通式。

根据上述两项假定, 对于同心圆弧凸曲线水流, 可对(3)式内的 v_y 和 r 作如下的代换:

$$\text{假定(1): } \frac{v_y^2}{g} = 2h_y = 2(H - y \cos \varphi - \frac{p_y}{\gamma}) \quad (4)$$

$$\text{假定(2): } r = R + y \quad (5)$$

式中 R 是渠底的曲率半径。(4)、(5)两式代入(3)式, 积分后可得测线上的压力分布公式:

$$\frac{p_y}{\gamma} = (d - y) \cos \varphi + (H - d \cos \varphi) \left(1 - \left(\frac{d+R}{y+R} \right)^2 \right) \quad (6)$$

上式方括号内的无尺度校正项, 以 K_p 示之, 称为压力校正系数:

$$K_p = 1 - \left(\frac{d+R}{y+R} \right)^2 = 1 - \left(\frac{1 + \frac{d}{R}}{1 + \frac{d}{R} \cdot \frac{y}{d}} \right)^2 \quad (7)$$

当渠底为直线时, R 可视作 ∞ , (7)式中 $K_p = 0$, 此时(6)式即同于(1)式的第2行。当流线带有凸曲率时, (7)式内相对水深 $y/d \leq 1$, 可见 $y < d$ 时 K_p 恒为负值, 即凸曲率水流的水压力较相应的平行水流为小。(7)式中除相对水深 y/d 外, 比值 d/R 起决定性作用, 称为曲率指数, 以 i 示之:

$$i = d/R \quad (8)$$

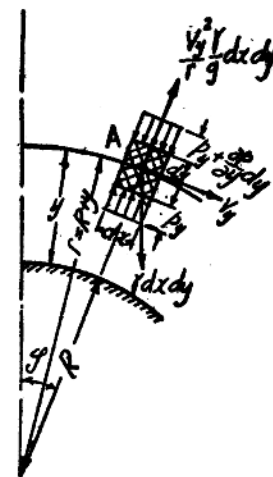
(8) 式代入(7)式后, 得

$$K_p = 1 - \left(\frac{1+i}{1+i \cdot \frac{y}{d}} \right)^2 \quad (9)$$

对于相同的 y/d 比值, 曲率指数 i 越大, K_p 的绝对值或曲率的影响越大; 当曲率指数 i 为常数时, 曲率影响随 y/d 的减小而加大。

因之, 对于凸曲线水流而言, 测线上的能量分布公式由平行水流的(1)式改为:

$$\left. \begin{aligned} z_y &= y \cos \varphi \\ (p/\gamma)_y &= (d - y) \cos \varphi + (H - d \cos \varphi) \left[1 - \left(\frac{1+i}{1+i \cdot \frac{y}{d}} \right)^2 \right] \\ H_{s_y} &= (z + p/\gamma)_y = H - (H - d \cos \varphi) \left(\frac{1+i}{1+i \cdot \frac{y}{d}} \right)^2 \\ h_y &= H - H_{s_y} = (H - d \cos \varphi) \left(\frac{1+i}{1+i \cdot \frac{y}{d}} \right)^2 \\ H &= \text{常数} \end{aligned} \right\} \quad (10)$$



第2图

(6)式或(10)式即为最重要的凸曲率影响基本公式。(10)式的示意圖見第1圖(b)。由(10)式的第4行,可得測線上的流速分布公式为:

$$v_y = \sqrt{2gh_y} = \sqrt{2g(H-d\cos\varphi)} \left(\frac{1+i}{1+iy/d} \right) \quad (11)$$

对(11)式進行積分,得凸曲線水流的單位寬度流量为

$$q = \int_0^d v_y dy = d \sqrt{2g(H-d\cos\varphi)} \left(1 + \frac{1}{i} \right) \log_e(1+i) \quad (12)$$

令(12)式內的流量校正系数为 K_q , 上式改为:

$$\begin{aligned} q &= K_q \cdot d \cdot \sqrt{2g(H-d\cos\varphi)} \\ K_q &= \left(1 + \frac{1}{i} \right) \log_e(1+i) \end{aligned} \quad \} \quad (13)$$

由于凸曲線水流的曲率指數 i 为正值,所以 K_q 恒大于 1, 即溢流量比平行水流为大。平行水流的 $R=\infty$, $i=0$, (13) 式的 $K_q=1$ 。

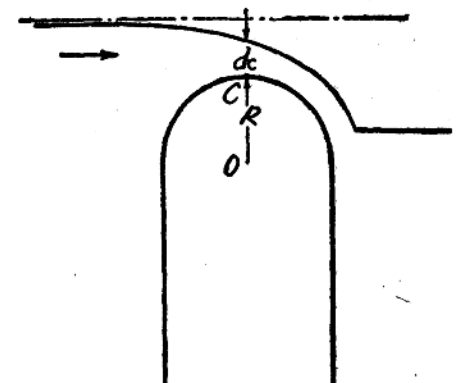
其他在臨界条件下的水力特性所受的曲率影响,詳見下節。

四、圓頂壩自由溢流的水力特性

作者曾選擇了壩頂為半圓形上下游為直立面的圓頂壩,作为研究二元明渠水流豎曲率影响的簡單模型,如第3圖的示意。認為圓頂壩自由溢流时壩峯測線的水力特性所受的曲率影响,近似地符合于勞弗爾氏所作的兩項假定,从而推引得一系列的曲率影响計算公式。并就大、中、小三个圓頂壩模型進行了 118 組試驗,以資核驗比較。

略去短距离內的能量损失,水流的比能量以壩峯測線为最小,所以即以此作为臨界断面,对(13)式取微分式等于零,可求得壩峯的臨界水深 d_c 如下式(此处 $\varphi=0$, $\cos\varphi=1$):

$$d_c = \frac{1 + \log_e(1+i_c)}{1 + \log_e(1+i_c) + 0.5K_q} \cdot H \quad (14a)$$



第3圖

式中 i_c 为相应于臨界水深 d_c 的曲率指數, $i_c = d_c/R$; 令式中的系数为臨界水深系数,以 K_{d_c} 示之:

$$K_{d_c} = \frac{d_c}{H} = \frac{1 + \log_e(1+i_c)}{1 + \log_e(1+i_c) + 0.5K_q} \quad (14b)$$

式中流量系数 K_q 見(13)式。当流線帶有凸曲率, i_c 为正值, 上式 K_{d_c} 恒較 $2/3$ 为大, 亦即壩峯的臨界水深 $d_c > \frac{2}{3}H$ 。对于流線無曲率的平行水流,則 $i_c=0$, $K_q=1$,

$$K_{d_c} = 2/3$$

将(14b)式代入(13)式，得总能头H为常数时的最大溢流量 q_{max} 为：

$$q_{max} = \frac{K_q^{1.5}}{\sqrt{1 + \log_e(1 + i_c)}} \sqrt{g} \cdot d_c^{1.5} \quad (15)$$

式中的系数用另一流量系数 K'_q 代表，可得：

$$q_{max} = K'_q \sqrt{g} \cdot d_c^{1.5} \quad (16a)$$

$$K'_q = \frac{K_q^{1.5}}{\sqrt{1 + \log_e(1 + i_c)}} \quad (16b)$$

观(16a)式，可见 K'_q 即为堰峰测线的临界雷诺数 Fr_c ；流线带凸曲率时， $i_c > 0$ ， K'_q 或 Fr_c 的数值大于1。平行流的 $i_c = 0$ ， K'_q 或 Fr_c 等于1。

由过堰单宽流量 q 算得的二元平行水流临界水深，用 d'_c 表示以作区别，算式如下：

$$d'_c = \sqrt[3]{q^2/g} \quad (17)$$

以此作为标准，比较(14a)式凸流线水流临界水深 d_c 的大小，令另一临界水深系数为 $K_{d'_c}$ ：

$$K_{d'_c} = \frac{d_c}{d'_c} = \left(\frac{1}{K'_q}\right)^{2/3} = \frac{\sqrt[3]{1 + \log_e(1 + i_c)}}{K_q} \quad (18)$$

已知凸流线水流的 $i_c > 0$ ， $K'_q > 1$ ，所以 $K_{d'_c} < 1$ 。也就是说：圆顶堰的堰峰临界水深 d_c 大于 $(\frac{2}{3})H$ ，但比同一流量在平行流动时的临界水深 d'_c 为小，这可说明了宽顶堰尾端水深小于平行流临界水深的问题。

如果用总能头 H 来计算过堰的流量 q ，令另一流量系数为 K''_q ，如下式：

$$q = \frac{2}{3} \sqrt{2g} \cdot K''_q \cdot H^{1.5} \quad (19)$$

根据上述演化，可得 K''_q 的算式为：

$$K''_q = \frac{3}{2\sqrt{2}} K'_q \cdot K_{d'_c}^{1.5} \quad (20)$$

K''_q 即为克拉姆(Kramer)氏堰流流量系数，和彭胄氏流量系数 μ 具有如下关系：

$$\mu = \sqrt{3} K''_q \quad (21)$$

当流线带有凸曲率时， $K''_q > 0.576$ ， $\mu > 1$ ；在平行流动时则为 $K''_q = 0.576$ ， $\mu = 1$ ，这说明了溢流堰彭胄氏流量系数可大于1的问题。(19)式的克拉姆氏流量系数 K''_q 还可化成其他形式的流量系数，因系根据上游水头直接进行计算，所以应用最为广泛。

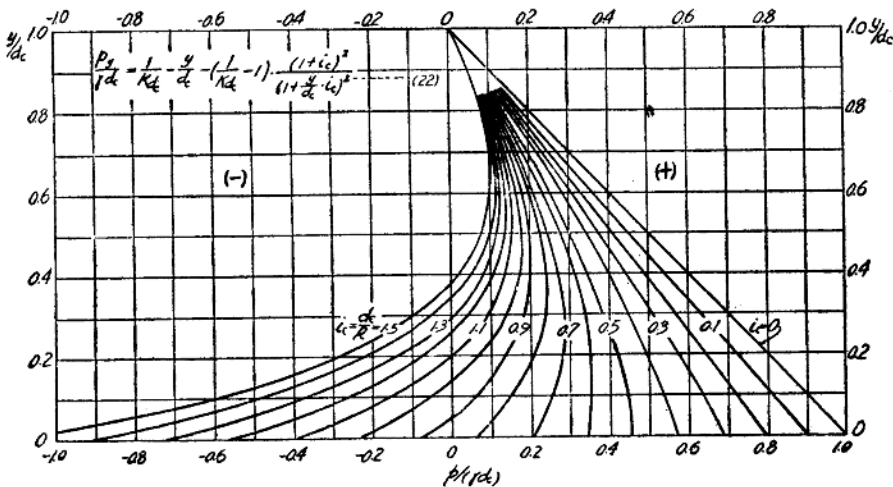
堰峰测线的压力分布公式，可将 $d = d_c$ 、 $H = d_c/K_{d_c}$ 、 $\cos \varphi = 1$ 代入(10)式的第2行来求得：

$$(p_y/\gamma d)_c = \frac{1}{K_{d_c}} - \frac{y}{d_c} - \left(\frac{1}{K_{d_c}} - 1\right) \left[\frac{1+i_c}{1+i_c \frac{y}{d_c}} \right]^2 \quad (22)$$

以 $y=0$ 代入上式，得壩峯 C 点的無尺度壓力比值，用 K_{p_c} 示之：

$$K_{p_c} = (p_0/\gamma d)_c = 1 - i_c(2 + i_c) \left(\frac{1}{K_{d_c}} - 1 \right) \quad (23)$$

(22) 式繪成曲線，如第 4 圖所示。圖中縱坐标為相對水深 y/d_c ，橫坐标為 $(p_y/\gamma d)_c$ ，每一曲線的曲率指數 i_c 為一常數。當 $i_c=0$ ，代表平行水流的靜水壓力分布規律；約當 $i_c=0.85$ ，壩峯 C 点的壓力為 0；約當 $i_c=1.45$ ，壩峯 C 点的壓力 $(p_0/\gamma d_c)=-1$ 。



第 4 圖

同样，將 $d=d_c$ 、 $H=d_c/K_{d_c}$ 、 $\cos\varphi=1$ 代入 (10) 式的第 4 行或 (11) 式，可得壩峯測綫的流速分布公式為：

$$v_{y_c} = \sqrt{2gd_c} \cdot \sqrt{\frac{1}{K_{d_c}} - 1} \cdot \frac{1 + i_c}{1 + i_c \frac{y}{d_c}} \quad (24)$$

當 $y=0$ ， C 点的臨底流速 v_b 為：

$$v_b = \sqrt{2gd_c} \cdot \sqrt{\frac{1}{K_{d_c}} - 1} \quad (25 a)$$

當 $y=d_c$ ， C 点的水面流速 v_s 為：

$$v_s = \sqrt{2gd_c} \cdot \sqrt{\frac{1}{K_{d_c}} - 1} \cdot (1 + i_c) \quad (25 b)$$

對 (24) 式沿水深進行積分，仿 (12) 式可得壩峯測綫的平均流速 v_m 為：

$$v_m = K_g \sqrt{2gd_c} \cdot \sqrt{\frac{1}{K_{d_c}} - 1} = K_g \cdot v_b \quad (25 c)$$

壩峯測線的流速分布曲線既已求得，能量校正系數 α 和動量校正系數 β 也都可借積分求得。

在上述算式演化過程中，可見曲率指數 $i_c = d_c/R$ 為最主要的參變數。當壩峯的曲率半徑 R 為已知時，壩峯的臨界水深 d_c 為最主要的自變量，各項水力特性如壓力分布、流速分布、流量系數等，均為隨 i_c 而改變的函數。如計算工作中最先給出的為壩峯曲率半徑 R 及上游總能頭 H ，則可通過試算或檢用曲線，在求得 d_c 的數值後再對各項水力特性進行計算。

五、圓頂壩模型試驗成果

為了探索二元明渠水流豎曲率的影響，作者曾在 50 公分寬玻璃水槽內進行了三種不同尺寸的圓頂壩模型試驗，研究自由溢流時的水力特性，以與前述根據兩項假定所導得的理論計算公式進行核驗比較。壩的幾何形狀如第 3 圖，模型的尺寸、試驗的範圍和 118 組次的分配如第 1 表：

第 1 表

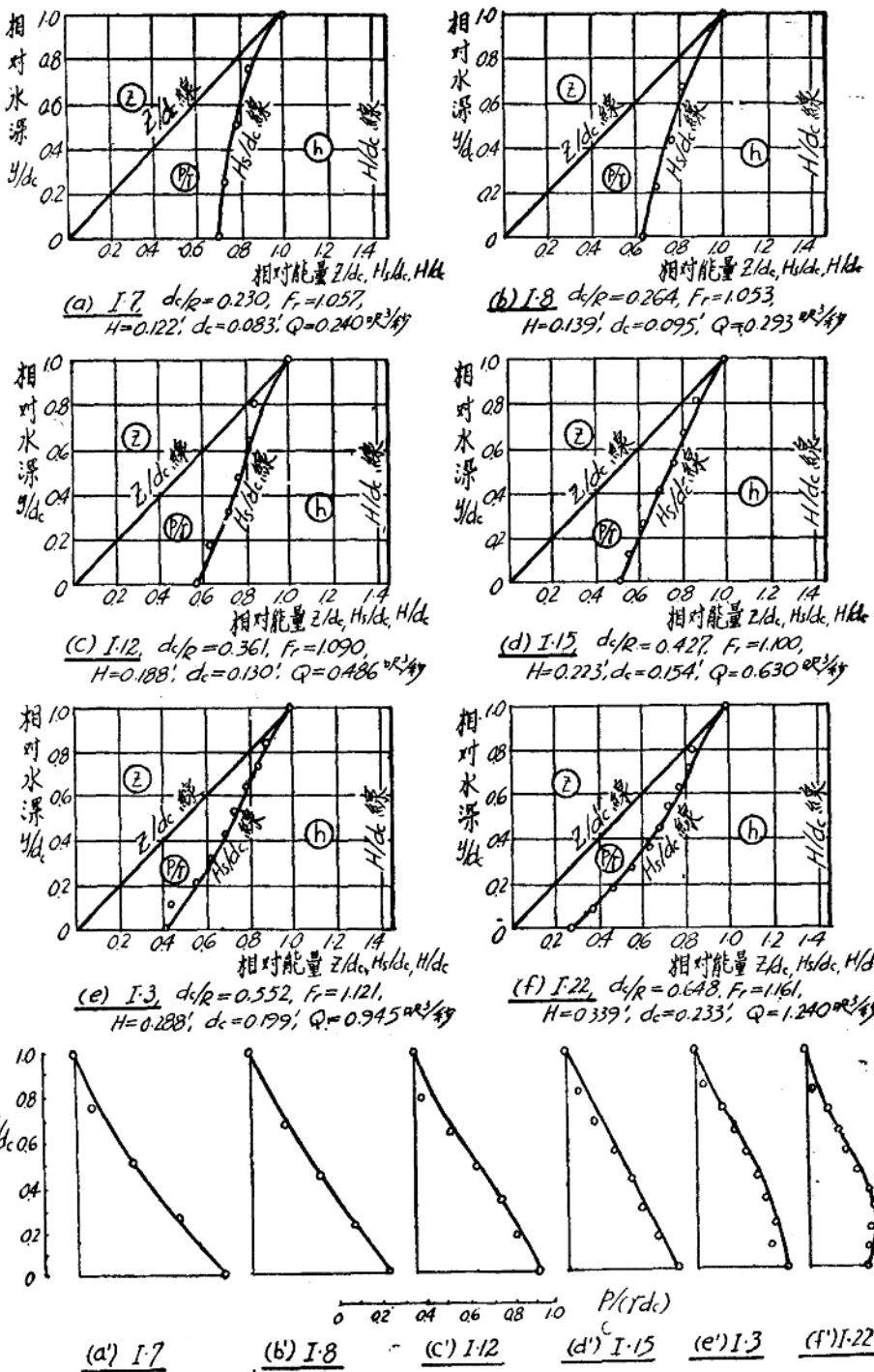
圓頂壩模型試驗範圍及組次分配

項 目	大 模 型 (I)	中 模 型 (II)	小 模 型 (III)
圓頂半徑 R (公分)	10.98	8.32	5.72
流量範圍 Q (公升/秒)	2.1~39	3.9~59	3.9~62
壩峯臨界水深 d_c (公分)	1.2~7.6	1.7~9.7	1.7~9.2
曲率指數 $i_c = d_c/R$	0.11~0.69	0.20~1.16	0.30~1.60
試驗組次及編號	I·1~I·27	II·1~II·61	III·1~III·30
相對壩高 P/R	2.45	2.31	2.04

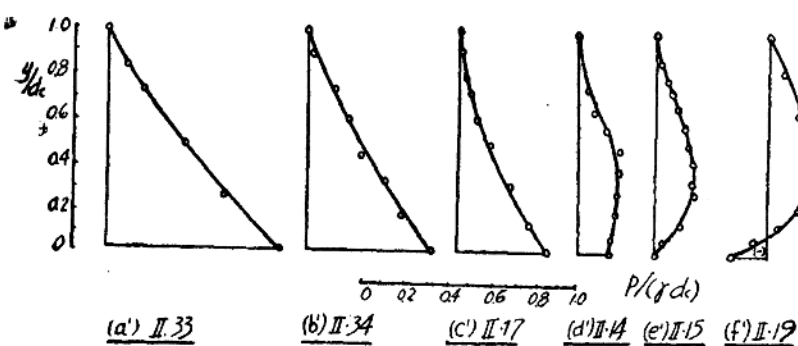
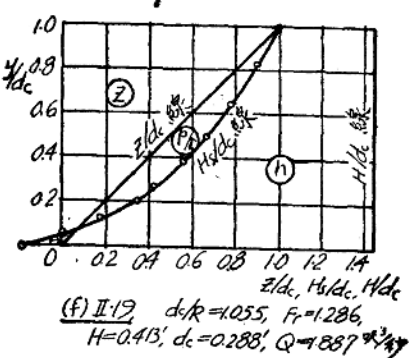
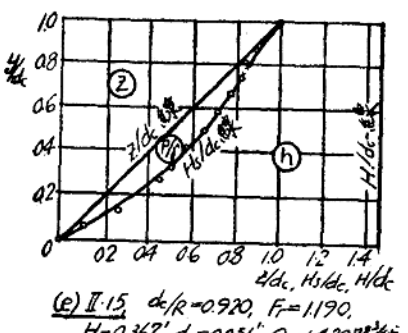
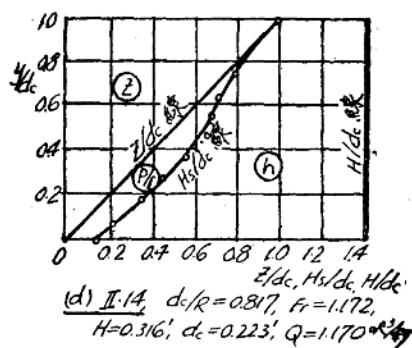
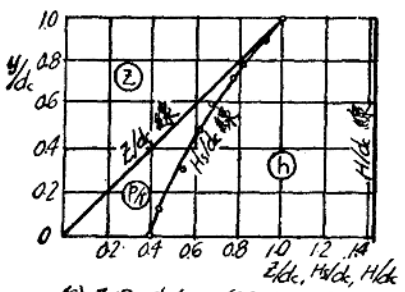
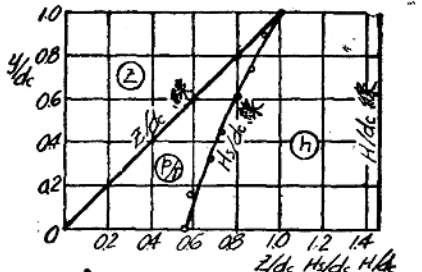
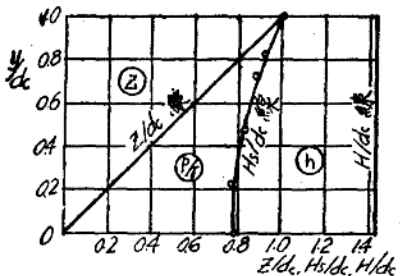
模型用金屬管及薄鋼板加工精制，壩頂部分設測壓孔 5 個，每隔 30° 一個（見第 11 圖的附圖），上游直立面設測壓孔 2 個，借測壓板測讀邊界壓力分布；壩峯測線的流速分布用普朗特 (Prandtl) 型畢托 (Pitot) 管施測；壩峯測線壓力分布用頂端不開孔、側面開許多小孔、狀如畢托管的壓力管施測；自由溢流的水面綫借滑動測針測得；流量由銳緣平口堰板測定，經過量水箱的精密衡重率定。

試驗成果以壩峯測線的自由溢流水力特性為最主要，除潛沒流的臨界指標部分不在本文發表外，其餘各項依曲線圖分別簡述如次。

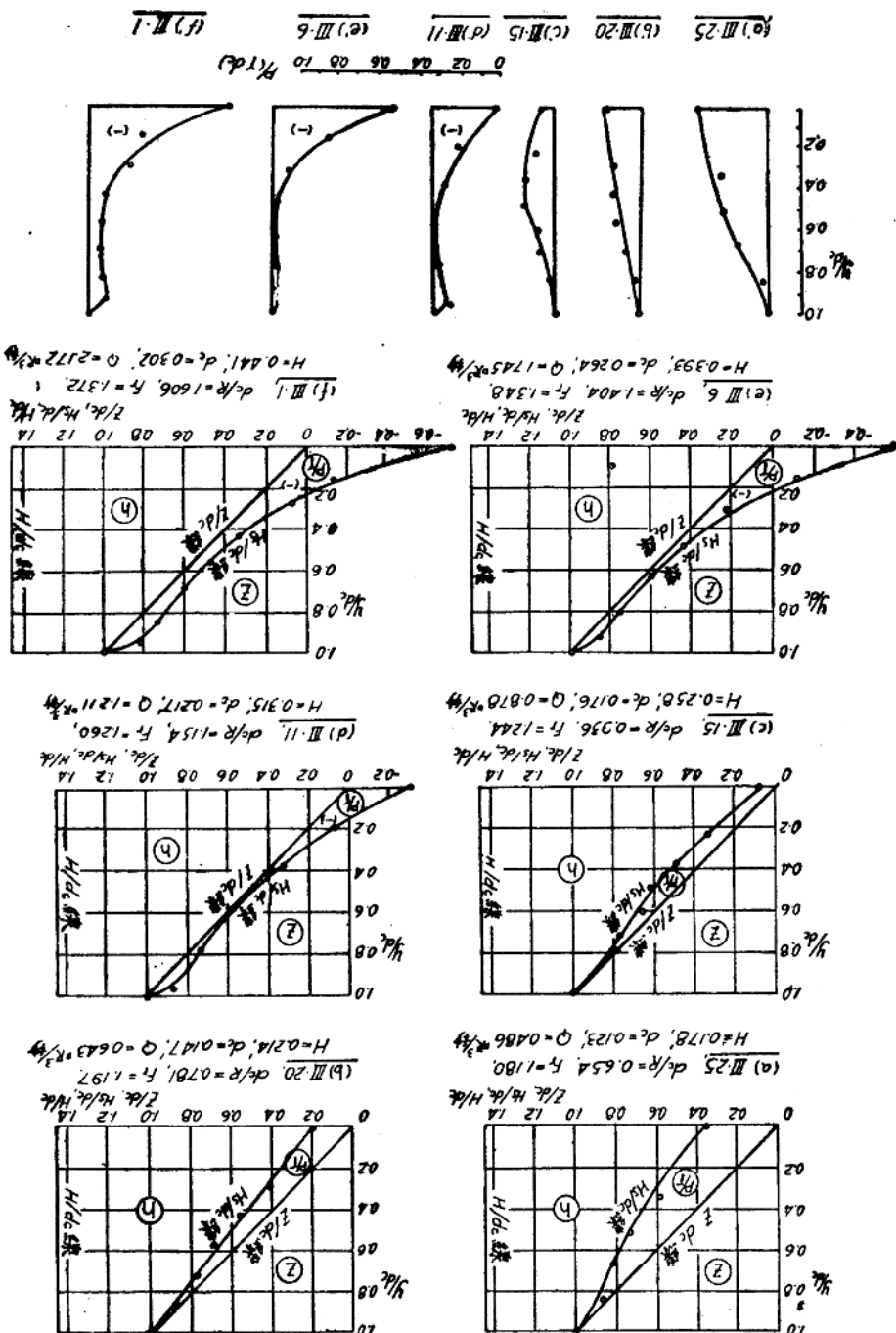
壩峯測線的能量分布曲線，就每一模型選擇 6 組試驗成果，依第 1 圖 (b) 的表示方法，分別繪成第 5、6、7 圖。圖中按曲率指數 i_c 的大小次序排列，可看出壓力分布曲線隨 i_c 的加大而愈脫離於靜水壓力分布規律的情形。圖的下方系將“z 線”改成垂直豎線後所繪得的壓力分布曲線，以便和第 4 圖直接比較。除大勢符合而有一定差異存在外，水面下第一測點的壓力特別偏小，很是明顯。圖中總能頭“H 線”上未將試驗結果點上，但試驗結果是符合于第 (1) 項假定的。



第5圖



第6圖

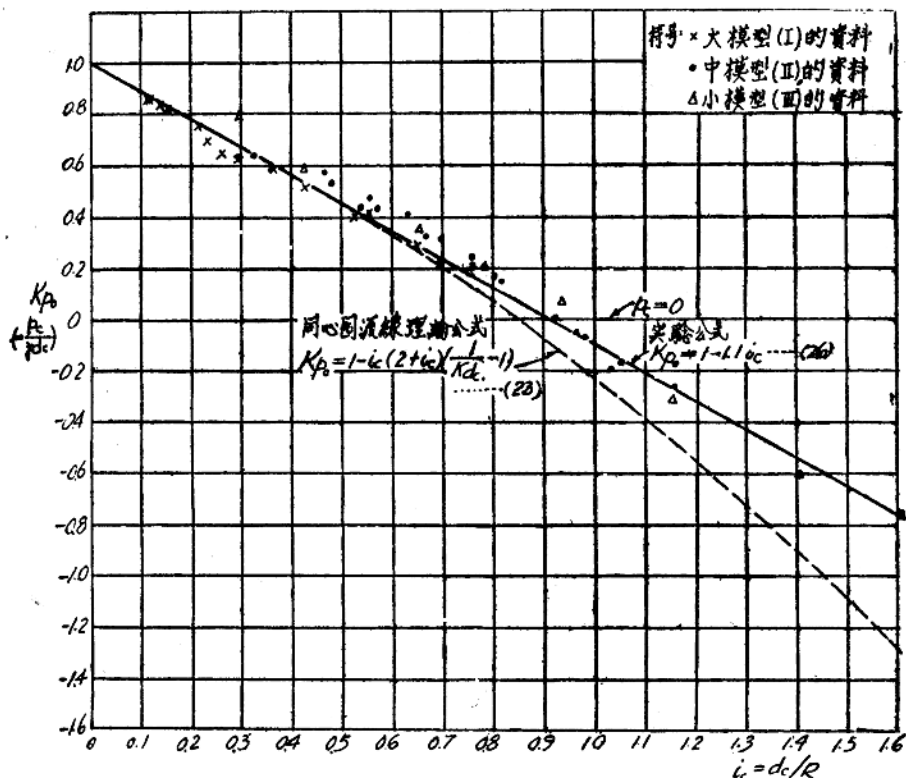


第7圖

第8圖所示，為壩峯C點的壓力校正系數 K_{p_c} 與曲率指數 $i_c = d_c/R$ 間的關係。圖中對於大、中、小三個模型的試驗成果，分別用不同的符號表示（第9~13圖同此），依同心圓流線所導得的 K_{p_c} 理論算式（(23)式）如圖中的虛線。實驗點子在 $i_c \leq 0.8$ 時和(23)式的虛線很接近， $0.8 < i_c < 1.6$ 之間的實驗點子和虛線脫離，而全部點子得用一直線通過，如圖中實線，代表實線的公式是：

$$K_{p_c} = 1 - 1.1i_c \quad (26)$$

即約當 $i_c = 0.9$ 時，壩峯C點的壓力為0。三個模型的點子稍有分離趨勢，但不明顯。



第8圖

第9圖表示壩峯臨界水深隨曲率指數而改變的情形。圖(a)代表“ $K_{d_c} \sim i_c$ ”關係，圖中虛線為依同心圓流線導得的理論算式，由(13)、(14b)兩式可得：

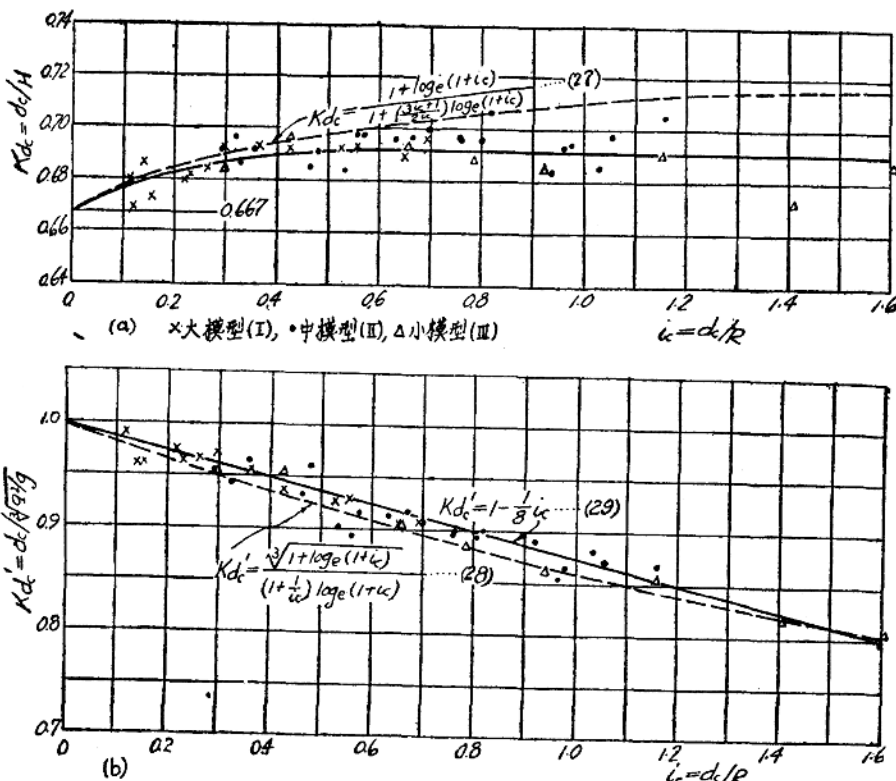
$$K_{d_c} = \frac{d_c}{H} = \frac{1 + \log_e(1 + i_c)}{1 + \left(\frac{3i_c + 1}{2i_c}\right) \log_e(1 + i_c)} \quad (27)$$

實測點子和虛線相差較大，但 K_{d_c} 仍較 $2/3$ 為大，大部分點子在 $K_{d_c} = 0.68 \sim 0.70$ 之間，在 $0.3 < i_c < 1.6$ 範圍內，可約略用 $K_{d_c} = 0.69$ 來代表，如圖中實線。圖(b)代表“ $K_{d'_c} \sim i_c$ ”關係，圖中虛線代表(13)、(18)二式合併所得的理論算式：

$$K_{d_c'} = \frac{d_c}{\sqrt{q^2/g}} = \frac{\sqrt[3]{1 + \log_e(1 + i_c)}}{\left(1 + \frac{1}{i_c}\right) \log_e(1 + i_c)} \quad (28)$$

三个模型的实测点子和虚线很接近，为便利起见，得用直线通过，如图中实线所示，实线的公式为：

$$K_{d_c'} = 1 - \frac{1}{8} i_c \quad (29)$$



第9圖

第10圖所示为三种流量系数 K_q 、 K'_q 、 K''_q 和 i_c 间的关系。图(a)中虚线代表 K_q 的理论算式，见(13)式，实验点子和虚线尚接近，通过点子的实线可用下列经验公式代表：

$$K_q = 1 + 0.42i_c - 0.10i_c^2 \quad (30)$$

图(b)中虚线代表 K'_q 的理论算式，将(13)式代入(16b)式后得：

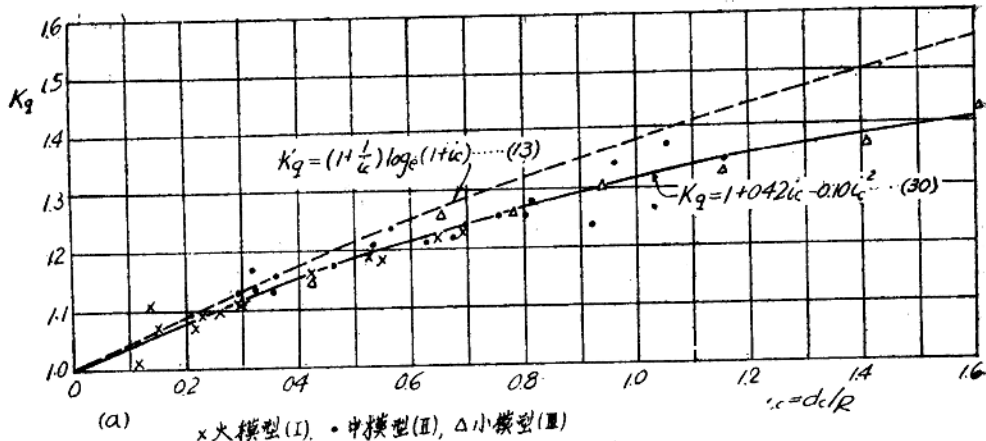
$$K'_q = \frac{\left(\left(1 + \frac{1}{i_c}\right) \log_e(1 + i_c)\right)^{1/3}}{\sqrt{1 + \log_e(1 + i_c)}} \quad (31)$$

实验点子和虚线也尚接近，图中可用一直线来通过实验点子，直线的公式是：

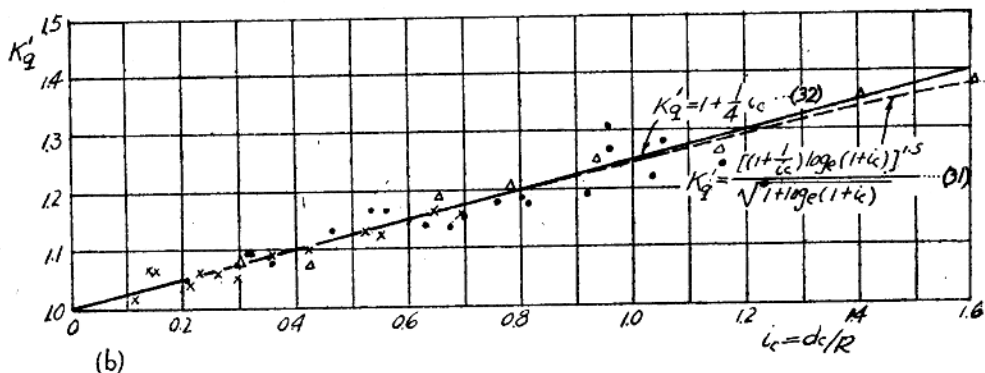
$$K'_q = 1 + \frac{1}{4} i_c \quad (32)$$

前已指明， K'_q 即为端峰测线的临界傅劳特氏数，其值大于 1。图(c)的虚线代表 K''_q 的理论算式——(20)式，将(14b)、(31)两式代入后可得函数式 $K''_q = f(i_c)$ ；图中实验点子尚接近于虚线，实线的经验公式是：

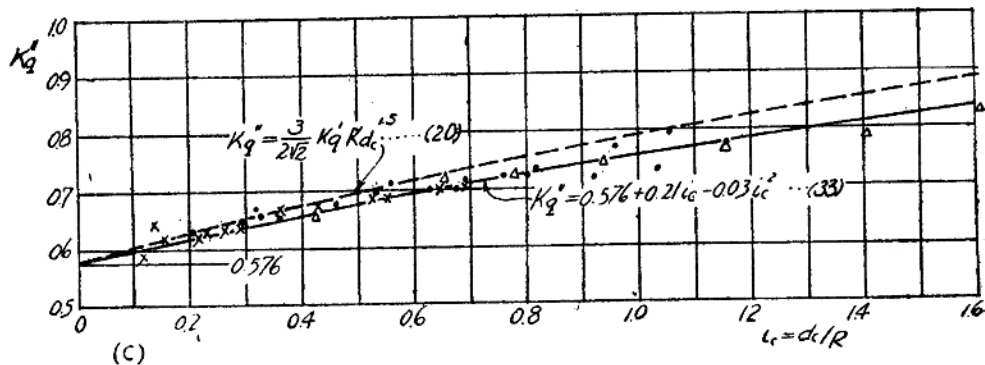
$$K''_q = 0.576 + 0.21i_c - 0.03i_c^2 \quad (33)$$



(a) x 大模型(I), · 中模型(II), Δ 小模型(III)

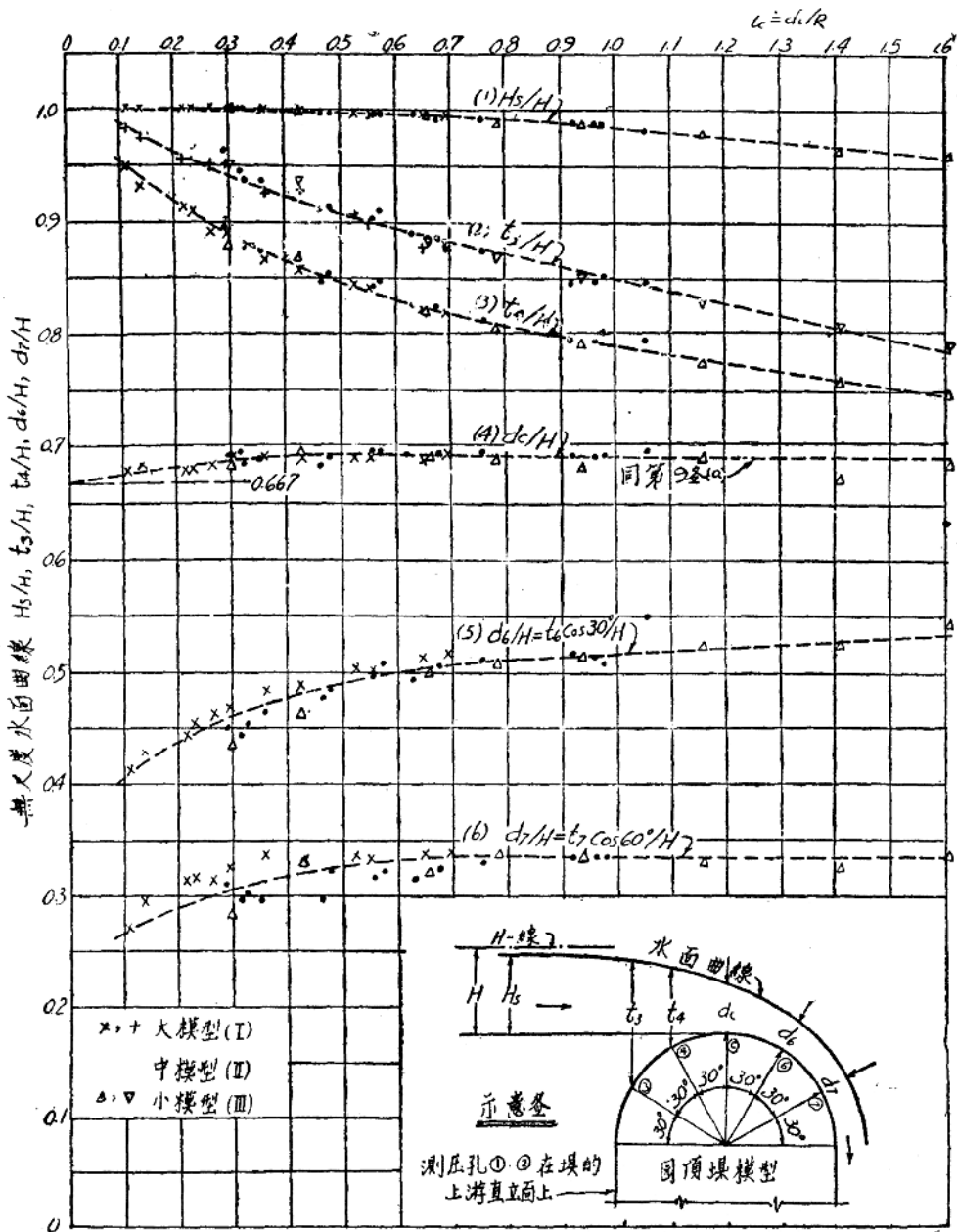


(b)



第 10 圖

圓頂端自由溢流的無尺度水面曲線見第 11 圖，圖中 6 条曲線分別代表 H_s/H 、 t_3/H 、 t_4/H 、 d_c/H 、 d_6/H 、 d_7/H 隨 i_c 而改變的情形，符號的說明見圖中所附的示意圖。大、中、小三個模型的試驗成果，尚屬彼此合致，但吻合的程度有所差异。曲



第 11 圖